

СУЩЕСТВУЕТ ЛИ ВОЗБУЖДЕННОЕ СОСТОЯНИЕ ЯДРА  ${}^3\text{H}$ ?

А.Л.Барабанов

Российский научный центр "Курчатовский Институт"  
123182 Москва, Россия

Поступила в редакцию 22 ноября 1994 г.

Высказано предположение, что возбужденное состояние ядра  ${}^3\text{H}$ , обнаруженное недавно в реакции  $\text{H}({}^6\text{He}, \alpha)[1]$ , имеет спин и четность  $1/2^+$  и ту же конфигурацию, что и основное состояние  ${}^6\text{He}$ . Амплитуда электромагнитного перехода в основное состояние тритона сильно подавлена, поэтому это возбужденное состояние не может быть обнаружено в радиационном захвате нейтронов дейтронами. Показано, что в упругом  $nd$ -рассеянии резонанс, обусловленный возбужденным состоянием, может отсутствовать из-за деструктивной интерференции фаз потенциального и резонансного рассеяния.

В [1] был обнаружен максимум в сечении реакции  $\text{H}({}^6\text{He}, \alpha)$ , интерпретированный как возбужденное состояние ядра  ${}^3\text{H}$  с энергией  $E^* = 7,0 \pm 0,3$  МэВ и шириной  $\Gamma^* = 0,6 \pm 0,3$  МэВ. Этот результат весьма интересен, поскольку до сих пор значимых указаний на существование возбужденных состояний тритона не было [2]. Имеются, однако, основания для скептического отношения к предложенной в [1] интерпретации. Энергия  $E^*$  лежит выше порога развала  $E_b = 6,26$  МэВ ядра  ${}^3\text{H}$  на нейтрон и дейтрон примерно на 0,7 МэВ. Но в полном сечении  $nd$ -взаимодействия отсутствуют какие-либо максимумы вблизи энергии 0,7 МэВ с шириной масштаба  $\Gamma^*$  [3, 4]. В радиационном захвате нейтронов дейтронами также не было обнаружено никаких аномалий вблизи предполагаемого возбужденного уровня тритона [5]. Сделанная в [1] ссылка на обзор [6] теоретических работ, предсказывающих существование возбужденного состояния тритона, лежащего выше порога распада  $n+d$  на 0,5 МэВ, не вполне корректна, так как в [6] речь идет об энергии  $\sim 0,5$  МэВ виртуального состояния  $nd$ -системы, лежащего вблизи порога  $n+d$ . Цель данной работы — показать, что предложенная в [1] интерпретация тем не менее может быть справедливой.

Обсудим сначала возможную конфигурацию возбужденного состояния ядра  ${}^3\text{H}$ , обнаруженного в [1]. В рамках наивной оболочечной модели с осцилляторным потенциалом основное состояние  $0^+$  ядра  ${}^6\text{He}$  представляет собой конфигурацию из двух протонов и двух нейтронов, находящихся в  $1s$ -состоянии и составляющих  $\alpha$ -частицу, и двух нейтронов в  $1p$ -состоянии с нулевым полным угловым моментом. Пусть  $r_1$  и  $r_2$  — радиусы-векторы этих нейтронов относительно  $\alpha$ -частицы, тогда как вектор  $r_{12} = r_1 - r_2$  определяет относительное положение нейтронов, а  $r$  — координату их центра масс относительно  $\alpha$ -частицы. Тогда для нормированных осцилляторных функций имеем тождество

$$\frac{1}{\sqrt{3}} \sum_m (-1)^m \psi_{1pm}(r_1) \psi_{1p-m}(r_2) = \frac{1}{\sqrt{2}} (\psi_{2s}(r) \psi_{1s}(r_{12}) - \psi_{1s}(r) \psi_{2s}(r_{12})). \quad (1)$$

Функции  $\psi_{1pm}(r_i)$  в левой части записаны для потенциала  $\mu\omega^2 r_i^2/2$ , где  $\mu = m_n m_\alpha / (m_n + m_\alpha)$  — приведенная масса нейтрона и  $\alpha$ -частицы. В правой части получаются функции  $\psi_{ns}(r_{12})$  в потенциале  $\mu_{12}\omega_{12}^2 r_{12}^2/2$ , где  $\mu_{12} = m_n/2$

и  $\omega_{12} = \omega m_\alpha / (m_n + m_\alpha)$ , и функции  $\psi_{n_s}(r)$ , отвечающие потенциалу  $\mu_r \omega_r^2 r^2 / 2$ , где  $\mu_r = 2m_n m_\alpha / (2m_n + m_\alpha)$  и  $\omega_r = \omega(2m_n + m_\alpha) / (m_n + m_\alpha)$ . Таким образом, согласно (1), состояние двух нейтронов в  $1p$ -оболочке с полным моментом нуль эквивалентно суперпозиции  $1s$ - и  $2s$ -состояний по относительным переменным  $r_{12}$  и  $r$ . В [7] было показано, что эта простая картина хорошо согласуется с реальной конфигурацией основного состояния ядра  ${}^6\text{He}$ , представляющего собой слабо связанную систему трех частиц  $\alpha + n + n$ .

Предположим, что обнаруженное в [1] возбужденное состояние системы  $p + n + n$  имеет ту же конфигурацию (1), что и основное состояние ядра  ${}^6\text{He}$  ( $\alpha$ -частица заменена на протон). Ясно, что это будет возбужденное состояние ядра  ${}^3\text{H}$   $1/2^+$ . Основному состоянию  $1/2^+$  в данной модели отвечают два нейтрона, находящиеся в  $1s$ -состоянии относительно протона. При этом для осцилляторных функций имеем

$$\psi_{1s}(r_1)\psi_{1s}(r_2) = \psi_{1s}(r)\psi_{1s}(r_{12}) \quad (2)$$

с теми же соотношениями между  $\mu, \mu_{12}, \mu_r$  и  $\omega, \omega_{12}, \omega_r$ , что и ранее, с заменой, естественно,  $m_\alpha$  на массу протона  $m_p$ .

В рамках такой гипотезы становится понятным, почему возбужденное состояние не проявляется в реакции  $d(n, \gamma)$ . По квантовым числам возможен лишь  $M1$ -переход, но ведущее слагаемое в амплитуде перехода равно нулю в силу ортогональности  $2s$ - и  $1s$ -состояний. Ситуация здесь аналогична  $2s \rightarrow 1s$  переходу в атоме водорода, где, кстати, однофотонный переход оказывается менее вероятным, нежели двухфотонный.

Перейдем теперь к анализу упругого  $nd$ -рассеяния. Суммарный спин нейтрона и дейтрона принимает значения  $1/2$  и  $3/2$ , поэтому в каждой парциальной волне различают дублетный и квартетный каналы. Длины рассеяния в этих каналах имеют значения  $a_2 = 0,65 \pm 0,03$  Фм и  $a_4 = 6,34 \pm 0,02$  Фм [2].

При отсутствии возбужденных состояний ядра  ${}^3\text{H}$  естественно ожидать, что рассеяние нейтронов на дейтронах при энергиях ниже порога развала дейтрона  $E_d = 2,23$  МэВ будет носить чисто потенциальный характер. Длина рассеяния должна при этом иметь масштаб радиуса потенциала. Предположим, что именно так и обстоит дело в квартетном канале. Радиус  $nd$ -потенциала может быть очень велик за счет размытости дейтрона. Радиальная функция дейтрона убывает на больших расстояниях как  $\sim \exp(-\gamma r)$ , где  $1/\gamma \sim 5$  Фм [9]. Добавляя радиус нуклон-нуклонного взаимодействия ( $\sim 2$  Фм), возьмем в качестве радиуса нейтрон-дейтронного потенциала величину  $R = 7$  Фм. Выбирая сам потенциал в виде сферической прямоугольной ямы и подгоняя его глубину в квартетном канале под величину  $a_4 = 6,34$  Фм, получим  $U_4 = 7,58$  МэВ. В такой яме существует связанный  $1s$ -уровень с энергией  $-3,98$  МэВ, однако заселению этого уровня в квартетном канале препятствует, очевидно, принцип Паули.

Представим теперь, что в дублетном канале имеется возбужденное состояние тритона типа  $p + n + n$  (1). Это состояние должно рассматриваться как закрытый неупругий канал, связанный с упругим каналом  $n + d$ . Проследим, как такой неупругий канал может влиять на наблюдаемые в упругом канале, пользуясь простейшей моделью двухканального рассеяния [10, 11]. В этой модели частица взаимодействует с системой, имеющей два состояния — основное с энергией нуль и возбужденное с энергией  $\epsilon$ . Резонансу отвечает возбужде-

ние внутренней системы, сопровождающееся переходом падающей частицы в связанное состояние.

Возьмем все потенциалы в виде сферических прямоугольных ям радиуса  $R = 7$  Фм. Пусть глубина ямы в упругом канале равна  $U_2^{(0)}$ , в неупругом —  $U_2^{(1)}$ ; глубину потенциала связи между каналами обозначим  $W$ . Уравнения для радиальных  $s$ -волновых функций упругого  $F^{(0)}(r)$  и неупругого  $F^{(1)}(r)$  каналов в области  $r < R$  имеют вид

$$\begin{cases} d^2 F^{(0)}/dr^2 + (2mU_2^{(0)}/\hbar^2)F^{(0)} + (2mW/\hbar^2)F^{(1)} + k^2 F^{(0)} = 0, \\ d^2 F^{(1)}/dr^2 + (2mU_2^{(0)}/\hbar^2)F^{(1)} + (2mW/\hbar^2)F^{(0)} + k_1^2 F^{(1)} = 0, \end{cases} \quad (3)$$

где  $k$  — волновое число в упругом канале, отвечающее энергии  $E = \hbar^2 k^2 / 2m$  ( $m$  — приведенная масса), а  $k_1 = (2m(E - \epsilon)/\hbar^2)^{1/2}$  — волновое число в неупругом канале. Если  $E < \epsilon$ , то неупругий канал закрыт, так что  $k_1 = iq_1$ , где  $q_1 = (2m(\epsilon - E)/\hbar^2)^{1/2}$ . Вне области взаимодействия  $r > R$  имеем

$$\begin{cases} F^{(0)}(r) = \exp(i\delta_2(k)) \sin(kr + \delta_2(k))/k, \\ F^{(1)}(r) = -iS^{(1)} \exp(ik_1 r) / 2(kk_1)^{1/2}, \end{cases} \quad (4)$$

где  $\delta_2(k)$  — фаза упругого рассеяния в дублетном канале.

Регулярные в нуле решения уравнений (3) в области  $r < R$  имеют вид

$$\begin{cases} F^{(0)}(r) = A \sin \alpha r + A' \sin \alpha' r, \\ F^{(1)}(r) = A(\Delta/W) \sin \alpha r - A'(W/\Delta) \sin \alpha' r, \end{cases} \quad (5)$$

где  $\alpha = (2m(U_2^{(0)} + E + \Delta)/\hbar^2)^{1/2}$ ,  $\alpha' = (2m(U_2^{(1)} + E - \epsilon - \Delta)/\hbar^2)^{1/2}$ ,  $\Delta = ((U_2^{(0)} - U_2^{(1)} + \epsilon)^2 / 4 + W^2)^{1/2} - (U_2^{(0)} - U_2^{(1)} + \epsilon) / 2$ . Сшивка функций (4) и (5) и их производных в точке  $r = R$  позволяет определить коэффициенты радиальных функций  $A(E)$ ,  $A'(E)$ ,  $S^{(1)}(E)$  и фазу упругого рассеяния  $\delta_2(E)$ .

Хорошо известно, что  $s$ -волновая фаза упругого рассеяния следующим образом выражается через логарифмическую производную  $\Phi_2(E) = R(dF^{(0)}/dr)/F^{(0)}$  функции упругого канала в точке сшивки:

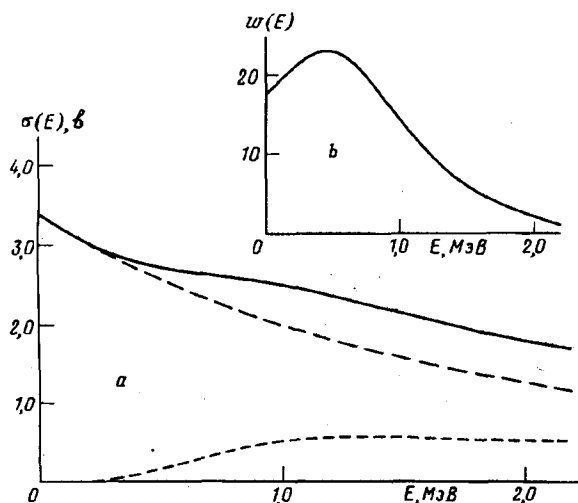
$$\exp(2i\delta_2(E)) = \exp(-2ikR) \frac{\Phi_2(E) + ikR}{\Phi_2(E) - ikR}. \quad (6)$$

Согласно обычному определению [12], резонанс в дублетном канале имеет место при энергии  $E_2$  такой, что  $\Phi_2(E_2) = 0$ . Записывая величину  $\Phi_2(E)$  вблизи этой энергии в форме  $\Phi_2(E) = (E_2 - E)/\gamma_2$ , получим брейт-вигнеровское описание резонанса с приведенной шириной  $\gamma_2$  и зависящей от энергии шириной  $\Gamma_2(E) = 2kR\gamma_2$ . Считая, что данная параметризация логарифмической производной справедлива для энергий  $E \rightarrow 0$ , для длины рассеяния будем иметь  $a_2 = R(1 - \gamma_2/E_2)$ . Малое по сравнению с  $R$  значение  $a_2$  получается, если  $\gamma_2 \sim E_2$ . Для указанной в [1] энергии  $E_2 \simeq 0,7$  МэВ отсюда следует  $\gamma_2 \simeq 0,6$  МэВ и  $\Gamma_2 \simeq 1,3$  МэВ. Заметим, что приведенная ширина чисто потенциального резонанса в модели сферической прямоугольной ямы  $\gamma^{pot} = \hbar^2/mR^2 \simeq 1,3$  МэВ примерно вдвое превосходит найденное значение  $\gamma_2$ . В то же время ширина  $\Gamma_2$  несколько больше экспериментальной оценки  $\Gamma^*$  [1].

В соответствии с (6) фаза упругого рассеяния в дублетном канале складывается из отрицательной фазы потенциального рассеяния  $\delta^{pot}(E) = -kR$

и положительной фазы резонансного рассеяния  $\delta^{res}(E) = \text{arctg}(kR/\Phi_2(E))$ . Если радиус  $nd$ -взаимодействия действительно так велик, как мы предположили, то при энергии  $E_2 \simeq 0,7$  МэВ потенциальная фаза достигает значения  $\delta^{pot}(E_2) \simeq -1,05$ , сравнимого по абсолютной величине с резонансной фазой  $\delta^{res}(E_2) = \pi/2$ . В результате полная фаза  $\delta_2(E)$  отнюдь не проходит через  $\pi/2$  в точке резонанса, и этим объясняется отсутствие максимума в сечении  $nd$ -рассеяния вблизи энергии  $E_2$  предполагаемого уровня.

Проиллюстрируем эти качественные соображения расчетом в рамках сформулированной выше модели. Выберем величину  $\epsilon$  равной энергии связи дейтрона 2,23 МэВ с тем, чтобы интервал энергий  $E < \epsilon$ , для которого в модели имеет место чисто упругое рассеяние, совпадал с аналогичным интервалом в  $nd$ -реакции. Оставшихся свободных параметров в дублетном канале — глубин потенциалов  $U_2^{(0)}$ ,  $U_2^{(1)}$  и  $W$  — с избытком хватает для того, чтобы воспроизвести экспериментальное значение длины рассеяния. Пусть, к примеру,  $U_2^{(0)} = 5$  МэВ и  $U_2^{(1)} = U_4$ . Подгоняя  $a_2$  к величине 0,65 Фм, для единственного оставшегося параметра получим  $W = 3,68$  МэВ. При этом логарифмическая производная  $\Phi_2(E)$  обращается в нуль при  $E_2 = 0,76$  МэВ; приведенная и полная ширины резонанса равны  $\gamma_2 = 0,57$  МэВ и  $\Gamma_2^0 = \Gamma_2(E_2) = 1,24$  МэВ. На рисунке 1а представлены сечения рассеяния  $\sigma_2(E) = (4\pi/3k^2) \sin^2 \delta_2(E)$ ,  $\sigma_4(E) = (8\pi/3k^2) \sin^2 \delta_4(E)$  в дублетном и квартетном каналах, соответственно, а также их сумма — полное  $s$ -волновое сечение рассеяния. Видно, что сечение  $\sigma_2(E)$  достигает максимальных значений при энергиях, превышающих 1 МэВ, несколько выполаживая ход полного сечения. Это выполаживание ясно выражено на экспериментальной кривой [3] и обусловлено дополнительно ростом вкладов  $p$ - и  $d$ -волн с увеличением энергии.



Вычисленные в модели  $nd$ -взаимодействия  $s$ -волновые сечения (а) и квадрат интеграла волновой функции неупругого канала (б) в зависимости от энергии  $E$ ; на рис. а сечение  $\sigma_2(E)$  в дублетном канале изображено короткими штрихами, сечение  $\sigma_4(E)$  в квартетном канале — длинными штрихами, полное сечение — сплошной линией

Таким образом, в данной модели из-за большой потенциальной фазы рассеяния гипотетический резонанс не проявляет себя в виде ярко выраженного максимума в упругом канале. Однако в неупругом канале имеет место возрастание функции  $F^{(1)}(r)$  вблизи энергии  $E_2$ . Заметим, что вероятность заселения возбужденного состояния тритона в реакции  $\text{H}({}^6\text{He}, \alpha)$  пропорциональна квадрату модуля матричного элемента перекрытия функций типа (1)

для двух нейтронов в  ${}^6\text{He}$  и  ${}^3\text{H}$ . При этом в тритоне функция типа (1) представляет собой функцию неупругого канала в реакции  $n + d$ . Таким образом, возрастание этой функции при энергиях, близких к  $E_2$ , должно соответствовать максимуму в сечении реакции  $\text{H}({}^6\text{He}, \alpha)$ . Для иллюстрации на рисунке *b* представлен вычисленный в модели квадрат интеграла функции  $F^{(1)}(r)$

$$w(E) = \left( \int_0^R F^{(1)}(r) dr \right)^2 \quad (7)$$

в зависимости от энергии  $E$ . Любопытно, что положение и ширина максимума качественно согласуются с найденными в [1] значениями  $E^*$  и  $\Gamma^*$ .

Обсудим, наконец, соответствие между возможным существованием возбужденного состояния ядра  ${}^3\text{H}$   $1/2^+$  и виртуальным состоянием  $nd$ -системы в дублетном канале [6]. О виртуальном состоянии говорят при наличии полюса в амплитуде упругого рассеяния (6) в нижней полуплоскости комплексных значений  $k$  на мнимой оси. Если энергия резонанса  $E_2 = \hbar^2 k_2^2 / 2m$  мала, то приближение Брейта-Вигнера  $\Phi_2(k) = \hbar^2 (k_2^2 - k^2) / 2m\gamma_2$  может быть справедливо в некоторой области комплексных значений  $k$ , включающей ноль. Полюсы  $k_r$  амплитуды (6), лежащие в окрестности нуля, являются в этом случае корнями квадратного уравнения  $(k_r)_{1,2} = -ik_2(\Gamma_2^0/4E_2) \pm k_2(1 - (\Gamma_2^0/4E_2)^2)^{1/2}$ . Мы видим, что в данном приближении виртуальные состояния отвечают широким резонансам  $\Gamma_2^0 > 4E_2$  (оба значения  $k_r$  лежат в нижней полуплоскости на мнимой оси). Именно так, кстати, обстоит дело в синглетном канале нуклон-нуклонного рассеяния. Резонансам с ширинами  $\Gamma_2^0$ , сравнимыми с  $E_2$ , как в рассматриваемом здесь случае, отвечают полюсы, расположенные по обе стороны от мнимой оси.

В реальном случае даже при малом  $E_2$  отклонение  $\Phi_2(k)$  от брейт-вигнеровской формы может быстро нарастать при смещении в сторону от действительной оси  $k$ . Поэтому резонансу с шириной  $\Gamma_2^0 \sim E_2$  может отвечать полюс на мнимой оси, то есть виртуальное состояние. Однако в рассматриваемой модели это не так. Пользуясь фиксированными выше параметрами двухканальной модели дублетного  $nd$ -рассеяния, найдем прямым расчетом полюсы амплитуды (6), то есть нули выражения  $\Phi_2(k) - ikR$  в комплексной плоскости значений  $k$ . Так же, как выписанные выше корни квадратного уравнения, они оказываются расположенными симметрично относительно мнимой оси в нижней полуплоскости. Этим полюсам соответствуют комплексные энергии  $(E_r)_{1,2} = \hbar^2 (k_r)_{1,2}^2 / 2m$  на нефизическом листе, при этом  $\text{Re}(E_r)_{1,2} = 0,54$  МэВ,  $\text{Im}(E_r)_{1,2} = \pm 0,76$  МэВ. Таким образом, в данной модели резонансу в  $nd$ -рассеянии (см. рисунок *b*) соответствуют близкие к мнимой оси полюсы  $S$ -матрицы, причем энергии на нефизическом листе в этих полюсах имеют масштаб  $\sim 0,5$  МэВ. Принимая во внимание крайнюю простоту рассматриваемой модели, можно говорить о качественном согласии с результатами работ, обсуждаемых в [6].

Итак, в данной работе показано, что предложенная в [1] интерпретация максимума в сечении реакции  $\text{H}({}^6\text{He}, \alpha)$  как возбужденного состояния ядра  ${}^3\text{H}$  не противоречит ни имеющимся экспериментальным данным, ни теоретическим представлениям о полюсах  $S$ -матрицы в дублетном канале  $nd$ -взаимодействия. В упругом  $nd$ -рассеянии это возбужденное состояние, по-видимому, не проявляет себя из-за деструктивной интерференции фаз потенциального и резонансно-

го рассеяния, обусловленной рыхлостью дейтрона и соответственно аномально большим радиусом  $nd$ -потенциала. Согласно выдвинутым предположениям о структуре возбужденного состояния сечение реакции  $d(n, \gamma)$  подавлено из-за сильного запрета амплитуды  $M1$ -перехода на основное состояние тритона. В то же время гипотеза о подобии структуры возбужденного состояния ядра  ${}^3\text{H}$  структуре основного состояния ядра  ${}^6\text{He}$  естественно объясняет обнаруженную в [1] чувствительность сечения реакции  $\text{H}({}^6\text{He}, \alpha)$  к этому состоянию.

Основной вывод состоит в том, что в последовательных трехчастичных расчетах  $nd$ -рассеяния следует обратить внимание на энергетическую зависимость волновых функций неупругих каналов, близких по структуре к конфигурации (1). Очевидный интерес представляют также оценка возможности возбуждения тритона в неупругом рассеянии электронов за счет  $E0$ -переходов и распространение выполненного анализа на систему  $p + d$  и ядро  ${}^3\text{He}$ .

Автор благодарен Д.В.Александрову, Е.Ю.Никольскому, Б.Г.Новацкому, Д.Н.Степанову, Б.В.Данилину, М.В.Жукову и Д.В.Федорову за полезные обсуждения. Работа выполнена при частичной финансовой поддержке Международного научного фонда.

1. Д.В.Александров, Е.Ю.Никольский, Б.Г.Новацкий, Д.Н.Степанов, Письма в ЖЭТФ **59**, 301 (1994).
2. D.R.Tilley, H.R.Weller, and H.N.Hasan, Nucl. Phys. **A474**, 1 (1987).
3. P.Stoler, N.N.Kaushal, F.Green et al., Phys. Rev. Lett. **29**, 1745 (1972).
4. T.W.Phillips, B.L.Berman, and J.D.Seagrave, Phys. Rev. **C22**, 384 (1980).
5. Э.И.Шарапов, ЭЧАЯ **12**, 962 (1981).
6. К.Меллер, Ю.В.Орлов, ЭЧАЯ **20**, 1341 (1989).
7. Б.В.Данилин, М.В.Жуков, А.А.Коршениников и др., ЯФ **49**, 360 (1989).
8. Дж.Е.Браун, А.Д.Джексон, Нуклон-нуклонные взаимодействия, М.: Атомиздат, 1979. (G.E.Brown, A.D.Jackson, The nucleon-nucleon interaction, North-Holland Publishing Company, New York, 1976.)
9. H.Feshbach, Ann. Phys. **5**, 357 (1958).
10. Н.Мотт, Г.Месси, Теория атомных столкновений, М.: Мир, 1969. (N.F.Mott, H.S.W.Massey, The theory of atomic collisions, Oxford, Clarendon Press, 1965.)
11. О.Бор, Б.Моттelson, Структура атомного ядра, т.1, М.: Мир, 1971. (A.Bohr, B.R.Mottelson, Nuclear structure, v.1, W.A.Benjamin, Inc., New York, Amsterdam, 1969.)